

C2 D3/H3

$\text{CH}_3\text{-CD}_3$

(v<sub>i</sub>)

IV-4406 | 1955

Van Riet R.

Bull. cl. sci. Acad. roy. Belgique, 1955, 41, N°, 188-203/PPR

Spectre Raman et spectre infrarouge de la  
molécule  $\text{CH}_3\text{-CD}_3$ .

XXXIII 1955, 54425

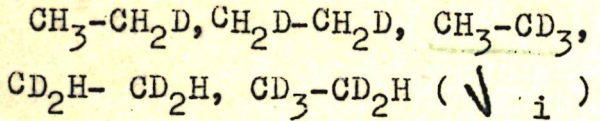


W

2

IV-4393

1957



Van Riet R.

Ann. Soc. scient. Bruxelles, 1957,  
Ser., 1, 71, N 2, 102-127

Спектры комбинационного ...

J



IV-4141

1962

$C_2H_6$ ,  $C_2D_6$ , acous.  $\underline{C_2H_3D_3}$

( Z, L )

Stiocheff B.P.

Canad. J. Phys., 1962, 40, N° 3,  
358-366

High resolution Raman ...

J

$C_2D_3H_3$

М-450 - IV

1964

$\text{CH}_3\text{CH}_2\text{OH}$ ;  $\text{CD}_3\text{CH}_2\text{OH}$ ; (mol-const.)

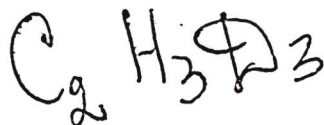
Иманов Н.М., Кашар Ч.О.,  
Абдураимовой А.А.

Тр. Комиссии по спектроскопии АН СССР,  
1964, вып. I, 214-220

Радиоспектроскопическое исследование  
молекулы ...

J

РХ, 1965, 22 166



1964

II-9890  $\frac{\text{C}_2\text{H}_3\text{D}_3}{\text{C}_2\text{H}_6, \text{C}_2\text{D}_6}$  (Vi)

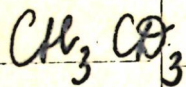
Tejada S.B.

Dissertation Abstr., 1964, 25(2),  
875

Infrared spectra of some...

J

1886



D'Or L., Collin J. S.,  
Longree J.

Bull. Cl. Sci. Acad. Roy.  
Belg. 52 (4), 518.

Ionization and dissociation  
of ethane under  
elect - ion impact.  
Mass spectra and

1390-441769-14

exchange phenomena  
in  $C_2 H_6$  ...

(Cu.  $C_2 H_6$ )

CH<sub>3</sub>-CD<sub>3</sub>

3

BP-XIV - 632

1967

22 Б190. Спектр комбинационного рассеяния этана-1,1,1-d<sub>3</sub>. Shaw D. E., Welsh H. L. The Raman spectrum of ethane-1,1,1-d<sub>3</sub>. «Canad. J. Phys.», 1967, 45, № 12, 3823—3835 (англ.).

При средней величине разрешения  $\sim 0,3 \text{ см}^{-1}$  сфотографирован спектр КР CH<sub>3</sub>—CD<sub>3</sub> при давлении в 1 атм. Получена тонкая колебательно-вращательная структура полос невырожденных колебаний ν<sub>1</sub> и ν<sub>3</sub> и дважды вырожденных колебаний ν<sub>7</sub> и ν<sub>11</sub>. Анализ вращательной структуры полос ν<sub>3</sub> и ν<sub>7</sub> позволил оценить значения вращательных постоянных  $B_0 = 0,5491 \pm 0,0003$  и  $A_0 = 1,7809 \pm 0,0016 \text{ см}^{-1}$ , что находится в согласии с ранее найденными значениями для C<sub>2</sub>H<sub>6</sub> и C<sub>2</sub>D<sub>6</sub>. Резюме

X · 1968 · 22

1967

 $\text{CH}_3 - \text{CD}_3$ 

10 Д295. Спектр комбинационного рассеяния этана-  
1,1,1,-d<sub>3</sub>. Shaw D. E., Welsh H. L. The Raman spectrum  
of ethane-1,1,1-d<sub>3</sub>. «Canad. J. Phys.», 1967, 45, № 12,  
3823—3835 (англ.)

Получен спектр комб. рас.  $\text{CH}_3 - \text{CD}_3$  при давлении паров 1 атм и с разрешением  $\sim 0,3 \text{ см}^{-1}$ . Подробно исследована вращательная структура следующих основных колебаний (в  $\text{см}^{-1}$ ):  $\nu_1 = 2955$  — невырожденное валентное C—H-колебание,  $\nu_3 = 904$  — невырожденное валентное C—C-колебание,  $\nu_7 = 2977$  — дважды вырожденное валентное C—H- и  $\nu_{11} = 1063$  — дважды вырожденное деформационное C—D<sub>3</sub>-колебание. На основании анализа контуров колебаний  $\nu_3$  и  $\nu_7$  получены следующие значения вращательных постоянных:  $A_0 = 1,781 \pm 0,002 \text{ см}^{-1}$  и  $B_0 = 0,5491 \pm 0,003 \text{ см}^{-1}$ . Вычисленные отсюда структурные параметры таковы:  $\angle \text{HCH} = \angle \text{DCD} = 107,8^\circ \pm 0,2^\circ$ ,  $r_0(\text{C—C}) = 1,534 \pm 0,002 \text{ \AA}$ ,  $r_0(\text{C—D}) = 1,093 \pm 0,001 \text{ \AA}$ ,  $r_0(\text{C—H}) = 1,095 \pm 0,002 \text{ \AA}$ .

А. П. Коузов

Б97-ХIV-632

9.1968 · 108

CH<sub>3</sub>CD<sub>3</sub>

BQ-XIV-632

1964

44584b Raman spectrum of ethane-1,1,1-d<sub>3</sub>. D. E. Shaw and H. L. Welsh (Univ. Toronto, Can.). Can. J. Phys. 45(12), 3823-35(1967)(Eng). The Raman spectrum of CH<sub>3</sub>CD<sub>3</sub> at 1 atm. pressure was photographed with a spectral resolution of ~0.3 cm.<sup>-1</sup> The nondegenerate  $\nu_1$  and  $\nu_3$  and the doubly degenerate  $\nu_7$  and  $\nu_{11}$  fundamentals were observed. Analysis of the rotational structure of the  $\nu_3$  and  $\nu_7$  bands gave the rotational consts.,  $B_0 = 0.5491 \pm 0.0003$  cm.<sup>-1</sup> and  $A_0 = 1.780_9 \pm 0.001_6$  cm.<sup>-1</sup>, resp. These are consistent with rotational consts. previously obtained for C<sub>2</sub>H<sub>6</sub> and C<sub>2</sub>D<sub>6</sub>.

RCCN

C.A. 1968. 68. 10

$C_2D_3 - CH_3$

1967

58844c Analysis of some of the near infrared absorption bands of the molecule ethane-1,1,1-d<sub>3</sub>. Peter Christian Lysne (Arizona State Univ., Tempe). *Diss. Abstr. B* 27(9), 3218 (1967)(Eng). *Univ. Microfilms* (Ann Arbor, Mich.), Order No. 67-3206, 100 pp.

SNDC

C.A. 1967 07 12

1968

CH<sub>3</sub>CD<sub>3</sub>

Weiss Sh., Yerai g. z.

J. Chem. Phys., 48, N3, 962.

v<sub>i</sub>

Строение макромолекул  
пропионовых кислот  
в ИК-спектре

C<sub>2</sub>H<sub>6</sub>, CH<sub>3</sub>CD<sub>3</sub>, CD<sub>6</sub>

III (ав. C<sub>2</sub>H<sub>6</sub>)

1968

CH<sub>3</sub>CD<sub>3</sub>  
 22 Б275. ИК-спектр этана-1,1,1-d<sub>3</sub> в  
ближней области. Lysne P. C., Meister A. G. Near-  
 infrared spectrum of ethane-1,1,1-d<sub>3</sub>. «J. Chem. Phys.»,  
 1968, 48, № 2, 918—921 (англ.)

Измерены ИК-спектры этана-1,1,1-d<sub>3</sub> в интервалах 4600—5100 и 5600—6300 см<sup>-1</sup>. Обнаружено 8 центров колебательно-вращательных систем. Из них только для двух перпендикулярных систем:  $v_5 + v_7$  (5065,9 см<sup>-1</sup>) и  $2v_7$  (5945,5 см<sup>-1</sup>) — удалось получить достаточно хорошее разрешение. Из анализа тонкой структуры этих двух систем обнаружено, что вращательные постоянные  $A^1(2v_7) = 1834$  см<sup>-1</sup> и  $A^1(v_5 + v_7) = 1787$  см<sup>-1</sup> и коэф. кориолисова взаимодействия  $\zeta_{2v_7} = -0,264$  и  $\zeta_{v_5 + v_7} = 0,170$ . Сравнение вращательных постоянных для полосы  $2v_7$  с подобными величинами для других полос показывает, что полоса  $2v_7$  сильно возмущена. Резюме

Х. 1968

22

C<sub>2</sub>H<sub>3</sub>D<sub>2</sub>

1968

(h.k.)

91344h Near-infrared spectrum of ethane-1,1,1-d<sub>3</sub>. P. C. Lysne and A. G. Meister (Arizona State Univ., Tempe, Ariz.). *J. Chem. Phys.* 48(2), 918-21(1968)(Eng). The ir spectrum of ethane-1,1,1-d<sub>3</sub> in the 4600-5100- and 5600-6300-cm.<sup>-1</sup> regions was obtained. Of the eight band centers that were located, only the perpendicular bands  $\nu_5 + \nu_7$ , at 5065.9, and  $2\nu_7$ , at 5945.5 cm.<sup>-1</sup>, were sufficiently resolved to make a rotational anal. possible. From this anal. it was found that  $A'(2\nu_7) = 1.834$ ,  $A'(\nu_5 + \nu_7) = 1.787$  cm.<sup>-1</sup>,  $\xi_{2\nu_7} = -0.264$ , and  $\xi_{\nu_5+\nu_7} = 0.170$ . A comparison of the rotational consts. of the  $2\nu_7$  perpendicular band with likely values for these same consts. detd. from other bands indicates that the  $2\nu_7$  band is strongly perturbed.

RCJQ

C.A. 1968-68-20

CH<sub>3</sub>CD<sub>3</sub>

1949

82161p' Microwave spectrum of ethane. Hirota, Eiji;  
Matsumura, Chi (Fac. Sci., Kyushu Univ., Fukuoka, Japan).

J. Chem. Phys. 1971, 55(2), 981-2 (Eng). A fairly strong line  
was obsd. at 65,896.92,  $\pm$  0.05 MHz in the microwave spectrum of

CH<sub>3</sub>CD<sub>3</sub>, which was assigned to the  $J = 2 \leftarrow 1$ ,  $K = 1$  transition.

The Stark effect was linear with field strengths < 3500 V/cm.

An addnl. line, with an intensity of about 1/5 of the main line  
intensity, was obsd. at 65,675.53,  $\pm$  0.05 MHz, which can be  
assigned to the transition in the torsionally excited state.

M.N.

M.B. checkup

C. A. 1949. 45 1d

СН<sub>3</sub>СД<sub>3</sub>

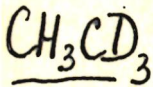
1971

24 Б317. Микроволновый спектр этана. Нигота Еизи, Матсумига Чи. Microwave spectrum of ethane. «J. Chem. Phys.», 1971, 55, № 2, 981—982 (англ.)

На спектрометре со штарковской модуляцией при т-ре сухого льда исследован МВ-спектр молекулы CH<sub>3</sub>CD<sub>3</sub>. На частоте 65896,2±0,05 Мгц обнаружена сравнительно интенсивная линия, состоящая из 2 штарковских компонент с одинаковой интенсивностью. Эта линия отнесена к вращательному переходу J=2←1, K=1 CH<sub>3</sub>CD<sub>3</sub> в основном колебательном состоянии. Для вращательной постоянной и дипольного момента получены значения B=16474,29 Мгц и μ=0,01078 D. Обнаружена также слабая линия при 65675,53 Мгц, к-рая отнесена к переходу J=2←1, K=1 в возбужденном состоянии крутильного колебания CH<sub>3</sub>CD<sub>3</sub>.

М. Р. Алиев

X. 1971. 24



4 Б236. Инфракрасный спектр и силовые коэффициенты в CH<sub>3</sub>CD<sub>3</sub>. Eggers D. F., Jr, Wilson H. W. Infrared Spectrum and force constants in CH<sub>3</sub>CD<sub>3</sub>. «J. Chem. Phys.», 1972, 57, № 5, 1858—1861 (англ.)

1972

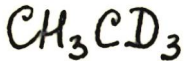
Исследован ИК-спектр поглощения CH<sub>3</sub>CD<sub>3</sub> (I) (газ) в области 670—3000 см<sup>-1</sup>. Затабулированы измеренные положения центров полос нормальных колебаний, обертонов и составных тонов I ниже 3000 см<sup>-1</sup>. Установлено положение <sup>n</sup>Q<sub>0</sub>-переходов для трех из шести полос нормальных колебаний I. Из расстояний между ветвями в соответствующих полосах определены постоянные кориолисова взаимодействия I:  $\xi_7 = 0,17$ ,  $\xi_9 = -0,29$ ,  $\xi_{11} = -0,36$ ,  $\xi_{12} = 0,24$ . С использованием трех различных силовых полей (общее квадратичное силовое поле, гибридно-орбитальное силовое поле Данкена и силовое поле Юри-Бредли — Такахashi) вычислены частоты нормальных колебаний и  $\xi$ -постоянны I. Наилучшее согласие с эксперим. данными наблюдается в случае силового поля Данкена.

А. П. Александров

(c.n.  $\gamma_i$ )

XIV-4283-69

Х. 1973. № 4



1972.

Vic. N;  
107257f Infrared spectrum and force constants in ethane-  
1,1-d<sub>3</sub>. Eggers, D. F., Jr.; Wilson, H. W. (Dep. Chem.,  
Univ. Washington, Seattle, Wash.). *J. Chem. Phys.* 1972,  
57(5), 1858-61 (Eng). The gas-phase ir spectrum of MeCD<sub>3</sub>  
was obsd. under moderately high resoln. Three of the E funda-  
mentals were sufficiently resolved so that a clear-cut choice of  
the <sup>R</sup>Q<sub>0</sub> transition was possible. Band centers were obtained for  
all fundamentals, and combinations and overtones at <3000  
 $\text{cm}^{-1}$  were also measured and assigned. Exptl. Coriolis  $\zeta$ 's  
were deduced from Q branch spacings in 4 of the E fundamentals.  
Theoretical values of the vibration frequencies and Coriolis  $\zeta$ 's  
were computed from 3 different potential functions. The con-  
strained hybrid orbital force field of Duncan agrees best with  
expt.

XIV-4383-109

C.A. 1972. 77. n16.

$\text{CH}_3\text{CD}_3$

1973

У 2 Б89.) Молекулярная структура этана. Сопоставление структурных параметров  $\text{CH}_3\text{CD}_3$  в тorsiонно-возбужденном и основном состояниях. Iijima Takaо. Molecular structure of ethane. Comparison of the structure parameters of  $\text{CH}_3\text{CD}_3$  in the torsionally excited state and in the ground state. «Bull. Chem. Soc. Jap.», 1973, 46, № 8, 2311—2314 (англ.)

млек.  
спир.

С применением теории колебаний большой амплитуды к тorsiонному движению изучено влияние тorsiонно-возбужденных состояний на структуру молек скелета. В соответствии с данными неэмпирич. расчетов МО для этана (РЖХим, 1969, 19Б14) и микроволновыми данными для  $\text{CH}_3\text{CD}_3$  (РЖХим, 1971, 24Б317) найдено увеличение расстояния C—C на 0,0028 Å и уменьшение угла HCH на 0,05° в первом тorsiонно-возбужденном состоянии молекулы  $\text{CH}_3\text{CD}_3$  по сравнению с основным.

В. Спиридонов

д. 1974

№ 2

(+) Early

$\text{CH}_3\text{CD}_3$

Tajima TakaO. 1973

"Bull. Chem. Soc. Jap"

1973, 46, n8, 2311-14.

смесь  
нафта.

(еес -  $\text{C}_2\text{H}_6$ ; III)

$C_2D_6$

$CD_3CH_3$

(all, n)

Kondo Shigeo

1973

45.9

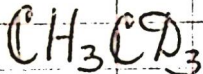
B9-4642-XIV

"Spectroclim acta".

1973, A29, N4, 435-451

( $Ca(C_2H_6)_2$ ; III)

1974



15 Б290. Микроволновый спектр этана. Matsutaga Chi. «Токё когё сикэнсё хококу, Tokyo kogou shikensho hokoku, J. Nat. Chem. Lab. Ind.», 1974, 69, № 12, 508—509 (япон.; рез. англ.)

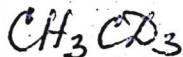
Измерена частота перехода  $J=2 \leftarrow 1$ ,  $K=1$  молекулы  $\text{CH}_3\text{CD}_3$  в основном состоянии, равная  $65896,923 \pm 0,05$  Мгц. Линия зарегистрирована при напряженности постоянного поля 1116 в/см и переменного 447 в/см и состоит из двух штарковских компонент приблизительно одинаковой интенсивности. Для двух значений постоянной центробежного искажения  $D_J = 2,7 \times 10^{-7}$  см $^{-1}$  или  $4,2 \times 10^{-7}$  см $^{-1}$ , взятых из работ др. авторов, определены два значения вращательной постоянной  $B_0$  в см $^{-1}$ , соотв.,  $0,0549523$  см $^{-1}$  или  $0,549524$  см $^{-1}$ . По эффекту Штарка для исследованного перехода определен дипольный момент:  $\mu = 0,01078 \pm 0,00009 D$ .

С. Н. Мурзин

X. 1975 N15

40227.6040

Ch, Ph, TE



1974

41125

1971

Susskind Joel.

Theory of torsion-vibration-rotation interaction in ethane and analysis of the band  $\nu_{11} + \nu_4$ .

"J.Mol.Spectrosc.", 1974, 49, N1, 1-17

(англ.)

039 040

046

0054 винити

$\text{CH}_3\text{CD}_3$

Ху-15251

1976

6 Б231. Колебательно-вращательные спектры этана и дейтероэтанов. Полоса  $v_2$  молекулы  $\text{CH}_3\text{CD}_3$ . Suzuki Isao. Vibration-rotation spectra of ethane and deuterioethanes the  $v_2$  band of  $\text{CH}_3\text{CD}_3$ . «J. Mol. Spectrosc.», 1976, 61, № 2, 289—298. (англ.)

С разрешением  $0,04 \text{ см}^{-1}$  измерен ИК-спектр поглощения молекулы  $\text{CH}_3\text{CD}_3$  в области  $2130—2060 \text{ см}^{-1}$ . Идентифицировано около 400 линий вращательной структуры полосы  $v_2$ . Определены значения вращательных и центробежных постоянных. М. Р. Алиев

Ху-15251

Ху. 1977 № 6

$C_2H_3D_3$

JY 15251

1976

XIV-2681

85: 53958e Vibration-rotation spectra of ethane and deuterioethanes. The  $\nu_2$  band of ethane-d<sub>3</sub>. Suzuki, Isao (Educ. Comput. Cent., Univ. Tokyo, Tokyo, Japan). *J. Mol. Spectrosc.* 1976, 61(2), 289-98 (Eng). The  $\nu_2$  band of CH<sub>3</sub>CD<sub>3</sub> was measured under an effective resolution of 0.04 cm<sup>-1</sup>. About 400 transitions obsd. in the region from 2130 to 2060 cm<sup>-1</sup> were identified as due to the  $\nu_2$  fundamental band. The least-squares anal. of these transitions yields the band constants:  $\nu_0 = 2089.957$ ,  $B' = 0.548937$ ,  $D_J' = 6.97 \times 10^{-7}$ ,  $D_{JK}' = 1.92 \times 10^{-6}$ ,  $A' - A'' = -0.01158$ , and  $D_K' - D_K'' = 1.30 \times 10^{-6}$  cm<sup>-1</sup>. The ground-state constants  $B''$ ,  $D_J''$ , and  $D_{JK}''$  are fixed to the values obtained from microwave spectroscopy.

(u, n)

C. J. 1976. 85. N8

*CH<sub>3</sub>CD<sub>3</sub>*

*XU-15251*

*1976*

3 Д372. Колебательно-вращательные спектры этана и дейтероэтанов. Полоса  $\nu_2$  в ИК-спектре CH<sub>3</sub>CD<sub>3</sub>. Suzuki Isao. Vibration-rotation spectra of ethane and deuterioethanes the  $\nu_2$  band of CH<sub>3</sub>CD<sub>3</sub>. «J. Mol. Spectrosc.», 1976, 61, № 2, 289—298 (англ.)

Изучены ИК-спектры (2050—2350 см<sup>-1</sup>) газообразных CH<sub>3</sub>CD<sub>3</sub> (I) и CD<sub>3</sub>CD<sub>2</sub> (II) при разрешении 0,04 см<sup>-1</sup>. Эффективная длина кюветы составляла 6 м при давлении паров I и II, равном 1 мм рт. ст. В ИК-спектре I в области 2130—2060 см<sup>-1</sup> зарегистрировано ~400 переходов, приписанных вращательной структуре полосы  $\nu_2$  валентного колебания группы CD<sub>3</sub>. По методу наименьших квадратов определены спектроскопич. константы полосы  $\nu_2$ I:  $\nu_0 = 2089,957$ ;  $B' = 0,548937$ ,  $D'_J = 6,97 \cdot 10^{-7}$ ,  $D'_{JK} = 1,92 \cdot 10^{-6}$ ,  $A' - A'' = -0,01158$  и  $D_{K'} - D_{K''} = 1,30 \cdot 10^{-6}$  см<sup>-1</sup>, причем значения констант основного состояния  $B''$ ,  $D''_J$  и  $D''_{JK}$  вычислены по данным микроволни. спектра I и составляют 0,549528;  $6,54 \cdot 10^{-7}$  и  $1,7 \cdot 10^{-6}$  см<sup>-1</sup> соответственно. Библ. 20.

И. В. А.

*XIV-У681*

(+)

*φ. 1977*  
*N3*

*CH<sub>3</sub>CD<sub>3</sub>*

\*45-18389

1977

и 10 Д554. Микроволновые спектры молекул  $^{13}\text{CH}_3^{12}\text{CD}_3$  и  $^{12}\text{CH}_3^{13}\text{CD}_3$  и длина связи С—О-этана. Нигота Ейтт, Matsumura Keiji, Imachi Misako, Fujio Mizue, Tsuno Yuho, Matsumura Chi. Microwave spectra of  $^{13}\text{CH}_3^{12}\text{CD}_3$  and  $^{12}\text{CH}_3^{13}\text{CD}_3$  and the C—C bond length of ethane. «J. Chem. Phys.», 1977, 66, № 6, 2660—2663 (англ.)

На штарковском спектрометре с чувствительностью  $10^{-10} \text{ см}^{-1}$  исследованы микроволны спектры трех изотопич. разновидностей (с  $^{12,13}\text{C}$ ) квазиполярной молекулы  $\text{CH}_3\text{CD}_3$ . Вблизи 65 и 100 ГГц идентифицированы линии вращательных переходов с  $J=1\rightarrow 2$  и  $2\rightarrow 3$  основного колебательного состояния этих молекул. Определены значения вращательной постоянной  $B_0$ , по которым вычислены  $r_s$ -длина связи С—С (1,5261 Å). По эффекту Штарка на переходе 1→2 измерен дипольный момент  $\text{CH}_3\text{CD}_3$  (от 0,0106 до 0,0109 ед. Дебая). М. Р. Алиев

ф. 1977 № 10

19 Б292. Микроволновые спектры  $^{13}\text{CH}_3^{12}\text{CD}_3$  и  
 $^{12}\text{CH}_3^{13}\text{CD}_3$  и длина C—C связи в этане. Hirata Eizzi,  
Matsumura Keiji, Imachi Misako, Fujio  
Mizue, Tsuno Yuho, Matsumura Chi. Micro-  
wave spectra of  $^{13}\text{CH}_3^{12}\text{CD}_3$  and  $^{12}\text{CH}_3^{13}\text{CD}_3$  and the C—C  
bond length of ethane. «J. Chem. Phys.», 1977, 66, № 6,  
2660—2663 (англ.)

Измерены в области частот от 60 до 100 ГГц МВ-спект-  
ры этанов  $^{12}\text{CH}_3^{12}\text{CD}_3$  (I),  $^{13}\text{CH}_3^{12}\text{CD}_3$  (II), и  $^{12}\text{CH}_3^{13}\text{CD}_3$   
(III). Для I идентифицированы две компоненты  $K=1$   
и 2 перехода  $J=3-2$  и для II и III по одному переходу  
 $J=2-1$ ,  $K=1$ . Для I, II и III, соотв., определена вра-  
щательная постоянная (в Мгц)  $B_0 = 16474,438 \pm 0,03$ ,  
 $16088,428 \pm 0,03$  и  $16251,914 \pm 0,03$ . Постоянные центро-  
бежного искажения для I равны  $D_J = 0,0196$ ,  $D_{JK} =$   
 $= 0,05$  мгц, что хорошо согласуется с расчетными значе-  
ниями. Вычислены  $r_s$ -координаты двух атомов углерода  
в I и определена длина связи C—C:  $r_s(\text{C—C}) =$   
 $= 1,526131 \pm 0,000083$  А. По эффекту Штарка для  $J =$   
 $= 2-1$  перехода найдены значения дипольных моментов  
II и III, соотв.:  $\mu = 0,01067 \pm 0,00010$  и  $0,01094 \pm 0,00011$  D.  
Полученные результаты сравниваются с известными дан-  
ными для родственных молекул.

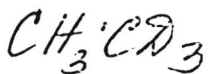
С. Н. Мурзин

$\text{CH}_3.\text{CD}_3$

М. б.  
сткбр

X. 1977  
N 19

1977-18380



Omega 5800

1977

Suzuki T. H; et al

Can. J. Chem., 1977, 55  
3124-3131

Behavior of hydrogen atoms  
in the fragmentation of  $\text{CH}_3\text{CD}_3$ .

1980

$\text{CH}_3\text{CD}_3$

(ii)

33: 212/69v Infrared rotation-vibration spectra of ethane. The parallel band,  $2v_3$ , of ethane-D<sub>3</sub>. Heise, H. M.; Cole, A. R. H. Sch. Chem., Univ. West. Australia, Nedlands, 6009 (Australia). *J. Mol. Spectrosc.* 1980, 83(2), 245-60 (Eng). The parallel band,  $2v_3$ , of MeCD<sub>3</sub> was measured at 2715-2780 cm<sup>-1</sup> under a spectral resolu. of  $\sim 0.025$  cm<sup>-1</sup>, increased to  $\sim 0.015$  cm<sup>-1</sup> by deconvolution. About 460 lines are identified in the  $2v_3$  band, and  $\sim 240$  lines in a hot band arising from the 1st excited torsional state. Least-squares analyses with  $\Delta_2F''$  combination differences yield lower-state parameters. An individual subband anal. was undertaken because of perturbations in the vibrational bands studied. Finally, band consts. were derived.

C.A. 1980. 93 n22

$\text{CH}_3\text{CD}_3$

[Lommel 10734]

1980.

check

Di, u.n.

Heise H.L.; Cole A.R.H.

J. Mol. Spectrosc., 1980,  
83, 245-60.

$\text{CH}_3\text{CD}_3$

COMM-CU 10044

1980

( $\nu_i$ )

93: 16052z Rotational fine structure of the perpendicular band,  $\nu_7$ , of ethane-1,1,1-d<sub>3</sub>. Heise, H. M.; Cole, A. R. H. (Sch. Chem., Univ. West. Australia, Nedlands, 6009 Australia). *J. Mol. Spectrosc.* 1980, 80(2), 320-33 (Eng). The gas-phase IR spectrum of  $\text{CH}_3\text{CD}_3$  in the region of the perpendicular C-H stretching band,  $\nu_7$ , near  $3000 \text{ cm}^{-1}$  was studied under a spectral resoln. of  $\sim 0.025 \text{ cm}^{-1}$ , increased to  $\sim 0.015 \text{ cm}^{-1}$  by deconvolution. An assignment of lines in the subbands  $K\Delta K = +15$  to -3 is proposed, and their upper-state consts. are reported. The interpretation of the effective rotational const. of the individual subbands is complicated by a strong perturbation.

CA 1980 93 n2

$\text{CH}_3-\text{CD}_3$

Синтесис 1009/4

1980

1 Д396. Тонкая вращательная структура перпендикулярной полосы  $v_7$  этана-1,1,1- $d_3$ . Rotational fine structure of the perpendicular band,  $v_7$ , of ethane-1,1,1- $d_3$ . Heise H. M., Cole A. R. H. «J. Mol. Spectrosc.», 1980, 80, № 2, 320—333 (англ.)

Получены спектры ИК-поглощения газообразного этана  $\text{CH}_3-\text{CD}_3$  вблизи  $3000 \text{ см}^{-1}$  при давлении 1—2 мм рт. ст. с разрешением  $0,025 \text{ см}^{-1}$ . С помощью деконволюции разрешение увеличено до  $0,015 \text{ см}^{-1}$ . Приведены спектры и частоты наблюденных полос, определенные со средней точностью  $0,002 \text{ см}^{-1}$ . С помощью диаграммы Лумиса — Вуда выполнено отнесение линий к колебательно-вращательным переходам перпендикулярной полосы валентного колебания группы  $\text{CH}_3 v_7$ . С привлечением микроволн. данных для основного состояния определены параметры молекулы в возбужденном колебательном состоянии. При анализе учтены константы центробежной деформации и ее влияния на кориолисово взаимодействие, член  $D_k' - D_k''$  при анализе исключен. Совместным анализом получен-

( $\mu, n; \delta_i$ )

φ, 1981 N 1

ных данных и спектра комб. рас. найдены колебательная частота  $v_7$ , вращательные постоянные  $A$  и  $B$  в основном и возбужденном колебательном состоянии и константа кориолисова взаимодействия. Отмечен случай локального резонанса вблизи подполос  $K=8,9$   
Бл. 19.

М. Т.

лож  
чен'

СМЗ СДЗ

1981

5 Д400. ИК-спектр высокого разрешения этана-1,1,1-D<sub>3</sub>. Колебательно-вращательные спектры CH<sub>3</sub>CD<sub>3</sub> и <sup>13</sup>CH<sub>3</sub>CD<sub>3</sub>. The high-resolution infrared spectrum of ethane-1,1,1-D<sub>3</sub> rovibration studies of CH<sub>3</sub>CD<sub>3</sub> and <sup>13</sup>CH<sub>3</sub>CD<sub>3</sub>. Duncan J. L., Нагрег J., Моггиссон A. R., Nivellini G. D., Tullini F. «J. Mol. Spectrosc.», 1981, № 1, 197—214 (англ.)

Получены ИК-спектры (1500—1000 см<sup>-1</sup>) газообразных молекул CH<sub>3</sub>CD<sub>3</sub> (I) и <sup>13</sup>CH<sub>3</sub>CD<sub>3</sub> (II) со спектральным разрешением ~0,05 см<sup>-1</sup>. Идентифицированы вращательные компоненты ИК-полос валентных симметричных колебаний групп CD<sub>3</sub>, асимметричных вал. кол. групп CH<sub>3</sub>, асимметричных деф. кол. групп CD<sub>3</sub> и CH<sub>3</sub>, а также крутого колебания ν<sub>12</sub> группы CD<sub>3</sub> I и II. Определены значения вращательных постоянных основного и возбужденных колебательных состояний I и II. Предположено, что искажения асимметричных дефор-

м.н., 2.

φ 1982, 18, N5.

мационных колебательных движений в I и II обусловлены кориолисовым взаимодействием этих колебаний с симметричными деф. кол. групп  $\text{CH}_3$  и  $\text{CD}_3$ , соответственно и взаимодействием с крутильным колебанием  $v_{10}$  групп  $\text{CH}_3$  II. Вычислены постоянные кориолисова взаимодействия 1-го и 2-го порядков в I и II. Проведена оценка констант центробежного искажения  $D_k^0$  I и II. Библ. 11.

И. В. А.



CH<sub>3</sub> CD<sub>3</sub> Отмеч 14313 1982

23 Б262. Разрешение эффектов главного резонанса Ферми в фундаментальных частотах валентных колебаний  $\nu_7$  CH в CH<sub>3</sub>CD<sub>3</sub> и C<sub>2</sub>H<sub>6</sub>. Duncan J. L. Resolution of the effects of a major Fermi resonance in the  $\nu_7$  CH stretching fundamentals of CH<sub>3</sub>CD<sub>3</sub> and C<sub>2</sub>H<sub>6</sub>. «Chem. Phys. Lett.», 1982, 89, № 5, 385—389 (англ.)

Проанализированы имеющиеся лит. данные по спектрам CH<sub>3</sub>CD<sub>3</sub> в области основной полосы перпендикулярного типа  $\nu_7$  вал. кол. CH. Показано, что кроме локализованных резонансов Кориолиса существенное влияние на вращательную структуру оказывает резонанс типа Ферми между полосами  $\nu_7$  и  $2\nu_9 \pm 2$ . На базе простой модели ферми-резонансного взаимодействия между этими колебаниями объяснен вид спектра в области полосы  $\nu_7$  и аномально высокие значения постоянных  $\xi$ . Рассчитаны новые значения спектроскопич.

Vi, III. n;

(4)

X. 1982, 19, N23

параметров для полосы  $\nu_7$  с учетом резонансных взаимодействий ( $\text{см}^{-1}$ ):  $\nu_0=2967,05$ ,  $\alpha_7^A-\alpha_7^B=0,000$ ,  $A\xi_7=0,090$ ,  $D_K=0$ ,  $\xi_7=0,05$ ,  $W=20,0$ . Предложенная схема применена к анализу спектра в области полосы вал. кол. СН в  $\text{C}_2\text{H}_6$ , где колебание  $\nu_7$  находится в резонансе Ферми с колебанием  $\nu_8^{\pm 1}+\nu_{11}^{\pm 1}$  с теми же параметрами взаимодействия. Для полосы  $\nu_7\text{C}_2\text{H}_6$  также рассчитаны новые спектроскопич. параметры с учетом резонанса Ферми ( $\text{см}^{-1}$ ):  $\nu_0=2977,76$ ,  $\alpha_7^A-\alpha_7^B=-0,007$ ,  $A\xi_7=0,133$ ,  $D_K=9,5 \times 10^{-6}$ ,  $\xi_7=0,05$ ,  $W=20,0$ . Отмечено, что наблюдение лишь небольшого участка структуры в  $P$ -ветви полосы  $\nu_7$ , а также существенное различие спектроскопич. параметров для полос  $\nu_7$ , рассчитанных с учетом ферми-взаимодействия и без него, не позволяют считать предложенную интерпретацию однозначной.

С. Б. Осин

СН<sub>3</sub> СД<sub>3</sub>

О.М 14313

1982

1 Д549. Определение влияния главного резонанса Ферми на валентные колебания СН основных полос  $\nu_7$  CH<sub>3</sub>CD<sub>3</sub> и C<sub>2</sub>H<sub>6</sub>. Resolution of the effects of a major Fermi resonance in the  $\nu_7$  CH stretching fundamentals of CH<sub>3</sub>CD<sub>3</sub> and C<sub>2</sub>H<sub>6</sub>. Duncan J. L. «Chem. Phys. Lett.», 1982, 89, № 5, 385—389 (англ.)

Выполнен повторный анализ спектров ИК-поглощения газообразных C<sub>2</sub>H<sub>6</sub> и CH<sub>3</sub>D<sub>3</sub> в области основных колебаний СН, отличный от предыдущего учетом резонанса Ферми с обертонами деф. кол. Показано, что совместный учет кориолисова взаимодействия и резонанса Ферми устраняет аномалии в кориолисовых постоянных  $\zeta$  и дает возможность обеспечить хорошее согласие рассчитанных и наблюденных спектров.

М. В. Т.

(+1)⊗

● C<sub>2</sub>H<sub>6</sub>

90. 1983, 18, N1

$\text{CH}_3\text{CD}_3$

Connick 14328 | 1982

97: 82025b The  $\nu_5$  Raman band of ethane-d<sub>3</sub>. Jensen, Per; Brodersen, Svend (Dep. Chem., Univ. Aarhus, Aarhus, DK-8000 Den.). *J. Raman Spectrosc.* 1982, 12(3), 295-99 (Eng). The  $\nu_5$  Raman band of  $\text{CH}_3\text{CD}_3$  was photographed with a resoln. of  $\sim 0.4 \text{ cm}^{-1}$  and analyzed by an iterative method, in which the peak wavenos. of the obsd. and computed contours are compared directly. Precise values for  $\nu_0$  and  $\Delta B$  were obtained, whereas it only could be shown that  $\Delta A$  is an order of magnitude smaller than  $\Delta B$ . Some basic problems of the method of anal. are discussed.

$\nu_5$

c.A.1982, 97, N10

*CH<sub>3</sub>CD<sub>3</sub>*

*Омск 14328 1982*

12 Д681. Полоса  $\nu_5$  комбинационного рассеяния CH<sub>3</sub>CD<sub>3</sub>. The  $\nu_5$  Raman band of CH<sub>3</sub>CD<sub>3</sub>. Jensen Reg,  
~~B. G. Pedersen~~ Svend. «J. Raman Spectrosc.», 1982,  
12, № 3, 295—299 (англ.)

Получен спектр изотропной компоненты комб. рас. газообразного CH<sub>3</sub>CD<sub>3</sub> при давл. ~1 атм в области полосы  $\nu_5$  с разрешением 0,4 см<sup>-1</sup> при возбуждении линией 488 нм лазера Ar<sup>+</sup> с фотографич. регистрацией. Выполнено отнесение компонент дискретной структуры полосы, связанное с изменением квантового числа  $J$ , приведены частоты этих компонент. С использованием литературных данных для постоянных  $A_0$ ,  $B_0$  и  $D_0$  сравнением рассчитанных спектров с экспериментальными определены изменения этих констант при возбуждении колебания  $\nu_5$ . Библ. 17.

М. В. Т.

*90. 1982, 18, N 12*

*CH<sub>3</sub>CD<sub>3</sub>*

Омск 14328 1982

22 Б228. Полоса  $\nu_5$  в спектре комбинационного рас-  
сения CH<sub>3</sub>CD<sub>3</sub>. Jensen P., Brodersen S. The  $\nu_5$   
Raman band of CH<sub>3</sub>CD<sub>3</sub>. «J. Raman Spectrosc.», 1982,  
12, № 3, 295—299 (англ.)

С разрешением 0,4 см<sup>-1</sup> сфотографированы (экспози-  
ция 16 ч.) спектры КР с возбуждением  $\lambda$  488,0 нм ани-  
зотропной компоненты полосы  $\nu_5$  в области 800—  
1000 см<sup>-1</sup> газ. (760 Торр) CH<sub>3</sub>CD<sub>3</sub>. С использованием  
гамильтониана, учитывающего внутреннее вращение в  
CH<sub>3</sub>CD<sub>3</sub>, для модели с молекулярной симметрией G<sub>18</sub>  
проводен вращательный анализ спектра. Несмотря на  
то, что K-структура полосы  $\nu_5$  в спектре КР не разре-  
шалась, примененная итерац. процедура, в к-рой срав-  
нивались значения волновых чисел наблюдаемого и рас-  
считанных контуров, разбитых на отрезки в 0,01 см<sup>-1</sup>,  
получены уточненные значения молек. постоянных  
CH<sub>3</sub>CD<sub>3</sub> основного состояния, см<sup>-1</sup>:  $B_0=0,549526$  (2),  
 $D_1=6,66(7)\times 10^{-7}$ ,  $D_{1K}=1,45(15)\times 10^{-6}$  и колебатель-  
ного состояния  $\nu_5$ , см<sup>-1</sup>:  $\nu_0=904,638$  (10),  $\Delta A=-0,00010$   
(1),  $\Delta B=-0,003028$  (4). Обсуждено влияние «горячих»  
полос и взаимодействия  $\nu_5$  с др. колебательными со-

*v<sub>i</sub>, m.n;*

*X. 1982, 19, N 22*

стояниями на точность определения молек. постоянных  
 $\text{CH}_3\text{CD}_3$ . А. Н. Курский

НИИ  
че г

*CH<sub>3</sub> CD<sub>3</sub>*

*1982*

6 Д444. ИК-спектр высокого разрешения этана-1,1,1-D<sub>3</sub>. Колебательно-вращательный анализ псевдо-перпендикулярной A<sub>1</sub>A<sub>2</sub> полосы ν<sub>9</sub>+ν<sub>10</sub> и параллельных полос ν<sub>3</sub>+ν<sub>4</sub> и ν<sub>5</sub>. The high-resolution infrared spectrum of ethane-1,1,1-D<sub>3</sub> rovibration analyses of the pseudoperpendicular A<sub>1</sub>A<sub>2</sub> ν<sub>9</sub>+ν<sub>10</sub> band and the parallel ν<sub>3</sub>+ν<sub>4</sub> and ν<sub>5</sub> bands. Nivellini G. D., Tullini F., Dunsan J. L., Morissette A. R. «J. Mol. Spectrosc.», 1982, № 1, 183—194 (англ.)

*Д.И.Н.*

Получены спектры ИК-поглощения газообразного этана CH<sub>3</sub>CD<sub>3</sub> в слое 18,75 м при давл. 5 мм рт. ст. с разрешением 0,05 см<sup>-1</sup>. С абс. точностью 0,01 см<sup>-1</sup> измерены частоты линий. Приведены спектры в области полос ν<sub>5</sub>, ν<sub>3</sub>+ν<sub>4</sub> и ν<sub>9</sub>+ν<sub>10</sub>. Выполнен колебательно-вращательный анализ этих полос. Полоса ν<sub>9</sub>+ν<sub>10</sub> обнаруживает псевдоперпендикулярную структуру из-за большого значения эффективной константы кориолисова

*90. 1983, 18, № 6*

взаимодействия почти вырожденных компонент  $A_1$  и  $A_2$  этого колебания для всех ненулевых квантовых чисел  $K$ . Вследствие этого расстояние между ветвями  $Q$  подполос достигает  $2,5 \text{ см}^{-1}$ . Для анализа полосы  $v_5$  выполнены расчеты контура  $Q$ -ветви. Использование данных по полосам  $v_9$  и  $2v_3$  позволило определить параметры молекулы в состояниях  $v_4$  и  $v_{1c}$ , недоступных непосредственному изучению. Библ. 10.



*CH<sub>3</sub>CD<sub>3</sub>*

1982

(vi)

98: 24873m The high-resolution infrared spectrum of ethane--  
1,1,1-D<sub>3</sub> rovibration analyses of the pseudoperpendicular A<sub>1</sub>A<sub>2</sub>  
 $\nu_9 + \nu_{10}$  band and the parallel  $\nu_3 + \nu_4$  and  $\nu_5$  bands. Nivellini, G.  
D.; Tullini, F.; Duncan, J. L.; Morrisson, A. R. (Ist. Spettrosc.  
Mol., CNR, Bologna, Italy). *J. Mol. Spectrosc.* 1982, 96(1), 183-94  
(Eng). A complete vibration-rotation anal. was made of the A<sub>1</sub>A<sub>2</sub>  
combination band  $\nu_9 + \nu_{10}$  of CH<sub>3</sub>CD<sub>3</sub> at 2582 cm<sup>-1</sup>. This band  
exhibits pseudoperpendicular structure due to the large effective  
Coriolis interaction const. ( $\xi \approx 0.7$ ), which couples the almost  
degenerate A<sub>1</sub> and A<sub>2</sub> vibrational components for all nonzero values  
of the rotational quantum no. K, and gives a subband Q-branch  
spacing of 2.5 cm<sup>-1</sup>. The location of the band center is assisted  
through an interruption of the perpendicular-like structure, since  
both K = 0 Q branches are forbidden by the vibrational and  
rotational selection rules. The conventional A<sub>1</sub> parallel bands  $\nu_3 + \nu_4$   
at 2507 cm<sup>-1</sup> and  $\nu_5$  (CC stretch) at 905 cm<sup>-1</sup> were also analyzed. For  
 $\nu_5$ , a combination of numerical anal. and band contour simulation was  
used to det. a set of upper-state rotation parameters. Combination  
of the present results with previous data for  $\nu_9$  and 2 $\nu_3$  permits  
rotational parameters to be derived for the  $\nu_4$  and  $\nu_{10}$  fundamentals of  
CH<sub>3</sub>CD<sub>3</sub>. Neither of these fundamentals are amenable to straightforward  
anal., both being very weak in the IR and overlaid by the intense  $\nu_{11}$   
fundamental.

C.A. 1983, 98, N.Y.

$\text{CH}_3\text{CD}_3$

Om. 18230

1982

$\nu_5;$

Per Jensen and Svend Bro-  
dersen,

$\gamma$ . Raman Spectrosc.,  
1982, ● 12, N3, 295-  
299.

CH<sub>3</sub> CD<sub>3</sub>

№ 16821 1983

11 Д97. Эмпирическое общее гармоническое силовое поле этана. The empirical general harmonic force field of ethane. Duncan J. L., Kelly R. A., Nivellini G. D., Tullini F. «J. Mol. Spectrosc.», 1983, 98, № 1, 87—110 (англ.)

Получены спектры КР- и ИК-спектры CH<sub>3</sub>CD<sub>3</sub>, <sup>13</sup>CH<sub>3</sub>CD<sub>3</sub> и CH<sub>3</sub><sup>13</sup>CD<sub>3</sub>. Выполнен анализ резонансов Ферми между частотами ν<sub>1</sub>, 2ν<sub>9</sub><sup>0</sup>, 2ν<sub>3</sub>; ν<sub>2</sub>, 2ν<sub>11</sub><sup>0</sup>, 2ν<sub>4</sub> и ν<sub>7</sub>, 2ν<sub>9</sub><sup>2</sup>. На основании этих спектров определены 12 частот колебаний, изотопич. сдвиги, нулевые частоты, постоянные Кориолиса и постоянные центробежного искажения этих трех молекул. 175 частот колебаний, изотопич. сдвигов, постоянных Кориолиса и центробежного искажения этана и 9 его замещенных, содержащих дейтерий и <sup>13</sup>C, использованы для определения 22 параметров общего валентного поля этана с большой точностью. Учитывалась ангармоничность валентных и деформационных колебаний. Вычисленные эмпирические силовые постоянные очень хорошо согласуются с найденными при помощи неэмпирических квантовомеханич. расчетов. Гармонические силовые постоянные использованы для вычисления

д<sub>i</sub>, м-н;

90, 1983, 18,  
N 11

постоянных Кориолиса 12 изотопич. модификаций этана  
и постоянных центробежного искажения 20 изотопиче-  
ских его производных и поворотных изомеров.

М. А. Ковнер



*CH<sub>3</sub>CD<sub>3</sub>*

*1984*

23 Б1298. Определение анизотропии магнитной восприимчивости молекулы CH<sub>3</sub>CD<sub>3</sub> по вращательному Зееман-эффекту второго порядка. The susceptibility anisotropy of CH<sub>3</sub>CD<sub>3</sub> from the second-order rotational Zeeman effect. Hüttner W., Häussler H., Mäjer W. «Chem. Phys. Lett.», 1984, 109, № 4, 359—362 (англ.)

Исследован эффект Зеемана на линии вращательного перехода с  $J=0 \rightarrow 1$  основного колебательного состояния молекулы CH<sub>3</sub>CD<sub>3</sub>. По зеемановскому сдвигу этой линии (2-го порядка по магнитному полю) измерена анизотропия магнитной восприимчивости  $\Delta\xi$ . Полученное значение  $\Delta\xi = -0,973 \cdot 10^{-29}$  см<sup>3</sup> согласуется с результатами измерения эффекта Коттона — Мутона и деполяризации релеевского рассеяния, к-рые дают величины  $\Delta\alpha \cdot \Delta\xi = -0,713 \cdot 10^{-53}$  см<sup>6</sup> и  $\Delta\alpha = 0,711 \cdot 10^{-24}$  см<sup>3</sup>, соотв. ( $\Delta\alpha$  — анизотропия оптич. поляризуемости).

Е. В. Алиева

*X·1984, 19, N 23*

*CH<sub>3</sub>CD<sub>3</sub>*

*21268*

*1984*

17 Б1251. Внутреннее вращение, эффект Штарка и вращательные магнитные моменты CH<sub>3</sub>CD<sub>3</sub>. Internal rotation, Stark effect, and rotational magnetic moments in CH<sub>3</sub>CD<sub>3</sub>. Ozier I., Meerts W. L. «Can. J. Phys.», 1984, 62, № 12, 1844—1854 (англ.)

С использованием метода пересечения уровней вместе с методом эл. резонанса в молек. пучке (Ozier I., Meerts W. L. «Can. J. Phys.», 1981, 59, 1150) измерено торсионное расщепление в спектре этана-1,1,1-d<sub>3</sub>, CH<sub>3</sub>CD<sub>3</sub>. Измерены разности энергий уровней  $J=1$  и 2 в нулевом поле для запрещенных переходов. Определены вращат. постоянные  $A=53499$  (11) МГц,  $B=16503,81$  (8) МГц. Из измеренного расщепления определена эффективная высота барьера внутр. вращения  $V_3=-1004,13$  (21) см<sup>-1</sup>. Полученные результаты сопоставлены с известными данными для др.дейтерированных изотопич. образцов этана. Измерение барьера внутренне-

*и.и.*

*X. 1985, 19, N 17.*

то вращения при дейтерировании составляет  $-3,05(13)$  см $^{-1}$  на один дейтерий. По эффектам Штарка и Зеемана измерены эффективный дипольный момент, анизотропия поляризуемости,  $g$ -факторы и анизотропия магн. восприимчивости. Полученные результаты представлены в виде набора 19 молек. постоянных.

С. Н. Мурзин

CH3CD3

DM 21268 1984

102: 87366v Internal rotation, Stark effect, and rotational magnetic moments in ethane (CH3CD3). Ozier, Irving; Meerts, W. Leo (Dep. Phys., Univ. British Columbia, Vancouver, BC Can. V6T 2A6). *Can. J. Phys.* 1984, 62(12), 1844-54 (Eng). Ethane- $1,1,1-d_3$  was studied by the elec.-resonance mol.-beam method. By anticrossing techniques, the zero-field energy differences for  $J = 1$  and 2 were measured corresponding to the normally forbidden selection rules ( $J \leftrightarrow J$ ), ( $K = \pm 1 \leftrightarrow \mp 1$ ), and ( $\sigma = \mp 1 \leftrightarrow 0, \mp 1$ ). From these splittings, 3 splitting ratio measurements, and 4 existing *R*-branch microwave frequencies, detns. were made of the moment of inertia of the CH3-top  $I_\sigma = 3.1549(12)$  amu Å<sup>2</sup> and of the effective ht. of the 3-fold barrier to internal rotation  $V_3 = 1004.13(21)$  cm<sup>-1</sup>, as well as of *B* and several distortion consts. From the current CH3CD3 value of  $V_3$  together with previous values for asym. deuterated forms of C2H6, it was shown that the change of  $V_3$  with deuteration is -3.05(13) cm<sup>-1</sup> per deuteron. By conventional beam methods, the Stark and Zeeman effects were studied. The Stark measurements were analyzed in terms of the anisotropy ( $\alpha_1 - \alpha_\perp$ ) in the polarizability and the effective dipole moment for the matrix elements diagonal in *J*, namely  $\mu_Q = \mu_0 + \mu_J(J + 1) + \mu_K K^2$ ;  $\mu_0 = 0.0108617(5)$  D,  $\mu_J = 0.809(53)$  μD,  $\mu_K = -2.06(10)$  μD, and  $(\alpha_1 - \alpha_\perp) = 0.672(27) \times 10^{-24}$  cm<sup>3</sup>. The 2 mol. *g* factors were measured,  $g_1 = 0.16451(25)$  nm and  $g_\perp = 0.00325(16)$  nm, and the anisotropy ( $\chi_1 - \chi_\perp$ ) in the magnetic susceptibility was evaluated.

(75)

C.A.1985, 102, N10

$\text{CH}_3\text{CD}_3$

1984

10 J1142. Внутреннее вращение, эффект Штарка и  
вращательные магнитные моменты в  $\text{CH}_3\text{CD}_3$ . Internal  
rotation, Stark effect, and rotational magnetic moments  
in  $\text{CH}_3\text{CD}_3$ . Ozierg Irving, Meerts W. Leo. «Can.  
J. Phys.», 1984, 62, № 12, 1844—1854 (англ.; рез. фр.)

д.н.

cf. 1985, 18, N 10

$\text{CH}_3\text{CD}_3$

1986

123231q Internal rotation in ethane-1,1,1-d<sub>3</sub>: Raman  
spectroscopy of torsional overtones. Van Helvoort, K.; Fantoni,  
M.; Merts, W. Leo; Reuss, J. (Fys. Lab., Kathol. Univ. Nijmegen,  
ED Nijmegen, Neth.). *Chem. Phys. Lett.* 1986, 128(5-6),  
375-379 (Eng). MeCD<sub>3</sub> torsional overtones were obstd. by spontaneous  
Raman scattering in a laser intracavity app. Δv = 2 Multiplet  
transitions of ≤ 8th torsional level were measured. The new data  
are combined with Δv = 0 transitions from ref. 1 and some new  
and old Δv = 1 transitions. The new data are discussed in terms of  
the effect of the CD<sub>3</sub> group on the torsional levels.

(25)

c.a.1986, 105, n14

*CH<sub>3</sub> CD<sub>3</sub>*

1986

† 12 Л275. Внутреннее вращение в CH<sub>3</sub>CD<sub>3</sub>: спектроскопия комбинационного рассеяния крутильных обертонов. Internal rotation in CH<sub>3</sub>CD<sub>3</sub>: Raman spectroscopy of torsional overtones. Van Helvoort K., Fantoni R., Meerts W. Leo, Reuss J. «Chem. Phys. Lett.», 1986, 128, № 5—6, 494—500 (англ.)

Методом внутрирезонаторной спектроскопии, с разрешением  $\sim 1,2 \text{ см}^{-1}$  исследован спектр КР в области обертонных переходов CH<sub>3</sub>CD<sub>3</sub>, обусловленных крутильными колебаниями. С точностью 0,5 см<sup>-1</sup> при отстройках от частоты возбуждающей линии в интервале 250—500 см<sup>-1</sup> измерены частоты линий крутильно-вращательной структуры полос с  $\Delta v = 2$ , соответствующих переходам в крутильные состояния вплоть до  $v = 6$ , определены относ. интенсивности линий. С привлечением литер. данных по микроволн. спектру основного состояния и ИК-спектрам колебательно-вращательных полос с  $\Delta v = 1$  выполнен анализ эксперим. данных, учитывающий крутильно-вращательное взаимодействие, и предложена интерпретация крутильно-вращательных линий. Представлено сравнение наблюдаемых частот и интенсивностей линий с рассчитанными. Определены высоты барьеров внутреннего вращения CH<sub>3</sub> и CD<sub>3</sub> групп. В. К.

(И.Л.)

Ф 1986, 18, N 12

*CH<sub>3</sub>CD<sub>3</sub>*

1993

119; 236839g Millimeter-wave spectrum of 1,1,1-trideuteroethane in the three lowest torsional states. Moazzen-Ahmadi, N.; Ozier, I.; Mukhopadhyay, I.; Amano, T. (Dep. Phys., Univ. Lethbridge, Lethbridge, AB Can. T1K 3M4). *J. Chem. Phys.* 1993, 99(4), 2429-38 (Eng). The pure rotational spectra of CH<sub>3</sub>CD<sub>3</sub> in the three lowest torsional states has been obsd. using a mm-wave spectrometer. A total of 87 rotational frequencies were measured between 230-363 GHz for J = 7 ← 6 to 11 ← 10 in v<sub>t</sub> = 0, 1, and 2, where v<sub>t</sub> is the torsional quantum no. For the lowest two torsional states, the spectra have the classic form expected for a sym. top (with no internal rotation) in the ground vibrational state. For v<sub>t</sub> = 2 and for a given (J+1) ← J, a markedly different splitting pattern is obsd. as a result of the (K, $\sigma$ ) dependence of the effective rotational const. B, where  $\sigma$  labels the torsional sublevels. In order to identify the individual features in the (v<sub>t</sub> = 2) spectrum, an assignment procedure was developed which is based on the fact that the ratio of moment of inertia of the top about the mol. symmetry axis to that of the whole mol. about the same axis is to a very good approxn. 1/3. The torsion rotation Hamiltonian discussed earlier in connection with CH<sub>3</sub>SiH<sub>3</sub> [N. Moazzen-Ahmadi et al. *J. Mol. Spectrosc.* 119, 299

*Uncno fra  
W.A.M. Creek*

V<sub>0</sub>

C.A. 1993, 119, N 22

(1986)] was used to analyze the rotational frequencies along with the mol. beam anticrossing data and the origin of the torsional fundamental. Several consta. which characterize the J-dependence of the energy levels were detd. Effective values for the barrier height  $V_0$  and the shape parameter  $V_0$  arrived, with the first-order correction in the Fourier expansion of the potential function were obtained. The effect of redundancies on the interpretation of the measurements is discussed.

CH<sub>3</sub>CD<sub>3</sub>

1993

7 Б1247. Миллиметровый спектр CH<sub>3</sub>CD<sub>3</sub> в трех наименее теснивых торсионных состояниях. Millimeter-wave spectrum of CH<sub>3</sub>CD<sub>3</sub> in the three lowest torsional states /Moazzen-Ahmadi N., Ozier I., Mukhopadhyay I., Amano T. //J. Chem. Phys. .—1993 .—99 ,№ 4 .—С. 2429—2438 .—Англ.

На миллиметровом спектрометре в области частот 230—370 ГГц с разрешением около 1 МГц и точностью около 40 кГц измерен вращательный спектр дейтерированного этана CH<sub>3</sub>CD<sub>3</sub> в основном и первых двух возбужденных торсионных состояниях. Анализ спектра выполнен в приближении модели симм. волчка с учетом квартичного центробежного искажения, внутр. вращения и торсионно-вращат. вз-вия. Определены вращательные постоянные в МГц: A=53499,0000, B=16503,2070(54) и параметры барьера внутр. вращения в см<sup>-1</sup>: V<sub>3</sub>=994,04(16), V<sub>6</sub>=-12,65(18). Обсуждаются трудности интерпретации полученных данных в связи со взаимной зависимостью молек. постоянных. Библ. 33.

С. Н. Мурзин

Х. 1994, № 7

1996

F: CH<sub>3</sub>CD<sub>3</sub>

P: 3

16Б1292. Торсионный спектр CH[3]CD[3]. The torsional spectrum of CH[3]CD[3] / Moazzen-Ahmadi N., Ozier I., McKellar A. R. W., Zerbetto Francesco [Journal of Chemical Physics] // J. Chem. Phys. - 1996. - 105, N 19. - C. 8536-8542. - Англ.

РЖХ 1997

CH<sub>3</sub>CD<sub>3</sub>

1997

} 24Б1716. <sup>12</sup>CH<sub>3</sub><sup>12</sup>CD<sub>3</sub>. Триада  $\nu_4$ ,  $\nu_{10}$ ,  $\nu_{11}$  с резонансом Кориолиса. <sup>12</sup>CH<sub>3</sub><sup>12</sup>CD<sub>3</sub>. The Coriolis resonating triad  $\nu_4$ ,  $\nu_{10}$ ,  $\nu_{11}$  / Nivellini Giandomenico, Fusina Luciano, Tullini Franca, Poluzzi Andrea // Gazz. chim. ital.— 1997.— 127, № 1.— С. 45–52.— Англ.

В областях 1123,5–1119,5 см<sup>-1</sup>, 1134,5–1131,5 см<sup>-1</sup> и 1035,5–1032,5 см<sup>-1</sup> получены ИК-фурье-спектры этанад<sub>3</sub> с разрешением вращательной структуры и отнесением частот к вращательным квантовым числам. Определены спектроскопич. параметры основного и возбужденных колебательных состояний и параметры взаимодействия Кориолиса.

М. Ковнер

$\nu_4$ ,  $\nu_{10}$ ,  $\nu_{11}$

X. 1997, № 24

$\text{CH}_3\text{CD}_3$

2001

135: 202079z Torsional Splitting in the  $v_5$  Fundamental Infrared Band of  $\text{CH}_3\text{CD}_3$  and  $^{13}\text{CH}_3\text{CD}_3$ . Lattanzi, F.; di Lauro, C.; Claveau, C.; Valentin, A.; Nivellini, G. D. (Dipartimento di Chimica Farmaceutica e Tossicologica, Universita di Napoli Federico II, I-80131 Naples, Italy). *J. Mol. Spectrosc.* 2001, 207(2), 193–200 (Eng), Academic Press. The  $v_5$  fundamental (C–C stretching) of  $\text{CH}_3\text{CD}_3$  shows a resolved torsional structure, caused by perturbations due mainly to the linear dependence of the torsional potential barrier on the normal coordinate  $Q_5$ . We were able to analyze this structure and to assign vibration–rotation transition wavenumbers for all five torsional components, classified according to the symmetry species of the  $G_{18}^{(3)}$  extended mol. group. The torsional splitting pattern is qual. similar to that of a non-degenerate vibrational state with an even no. of excited torsional quanta  $v_6$ . Explorative calcns. show that the main perturber system should consist of the torsional components of the vibrational ground state cor-

( $v_5$ , morphicit-  
(racemic))

C.R. 2001, 135, 13/14

relating with  $\nu_6 = 4$  in the high barrier limit. The strength of the perturbation on the  $E_{r0}$  torsional components of  $\nu_6$  increases rapidly with  $r$ , the  $E_{40}$  component being the most affected. The obsd. transition wavenumbers can be reasonably fitted by a simplified model contg. independent effective vibration-rotation parameters for the five different torsional components of  $\nu_6$ , for both  $\text{CH}_3\text{CD}_3$  and  $^{13}\text{CH}_3\text{CD}_3$ . The trend of the detd. values of the effective vibrational wavenumbers and rotational parameters over the torsional components supports the proposed vibration-torsion interaction mechanism, responsible for the obsd. torsional splittings. A strong anomaly obsd. in the rotational intensity distribution of  $\nu_6$  is discussed. (c) 2001 Academic Press.